

بِسْمِ اللَّهِ الرَّحْمَنِ الرَّحِيمِ



معاونت پژوهش و فن آوری

به نام خدا

منشور اخلاق پژوهش

با یاری از خداوند سبحان و اعتقاد به این که عالم محضر خدادست و همواره ناظر بر اعمال انسان و به منظور پاس داشت مقام بلند دانش و پژوهش و نظر به اهمیت جایگاه دانشگاه در اعتلای فرهنگ و تمدن بشری، ما دانشجویان و اعضاء هیئت علمی واحدهای دانشگاه آزاد اسلامی متعهد می‌گردیم اصول زیر را در انجام فعالیت‌های پژوهشی مد نظر قرار داده و از آن تخطی نکنیم:

۱- اصل حقیقت جویی: تلاش در راستای پی جویی حقیقت و وفاداری به آن و دوری از هرگونه پنهان سازی حقیقت.

۲- اصل رعایت حقوق: التزام به رعایت کامل حقوق پژوهشگران و پژوهیدگان (انسان، حیوان و نبات) و سایر صاحبان حق.

۳- اصل مالکیت مادی و معنوی: تعهد به رعایت کامل حقوق مادی و معنوی دانشگاه و کلیه همکاران پژوهش.

۴- اصل منافع ملی: تعهد به رعایت مصالح ملی و در نظر داشتن پیشبرد و توسعه کشور در کلیه مراحل پژوهش.

۵- اصل رعایت انصاف و امانت: تعهد به اجتناب از هرگونه جانب داری غیر علمی و حفاظت از اموال، تجهیزات و منابع در اختیار.

۶- اصل رازداری: تعهد به صیانت از اسرار و اطلاعات محرمانه افراد، سازمان‌ها و کشور و کلیه افراد و نهادهای مرتبط با تحقیق.

۷- اصل احترام: تعهد به رعایت حریم‌ها و حرمت‌ها در انجام تحقیقات و رعایت جانب نقد و خودداری از هرگونه حرمت شکنی.

۸- اصل ترویج: تعهد به رواج دانش و اشاعه نتایج تحقیقات و انتقال آن به همکاران علمی و

دانشجویان به غیر از مواردی که منع قانونی دارد.

۹- اصل برایت: التزام به برایت جویی از هرگونه رفتار غیرحرفه ای و اعلام موضع نسبت به کسانی که حوزه علم و پژوهش را به شایبه های غیرعلمی می آلایند.



معاونت پژوهش و فن آوری

به نام خدا

تعهد اصالت رساله یا پایان نامه تحصیلی

اینجانب سیده زهره موسوی دانش آموخته مقطع کارشناسی ارشد در رشته فیزیک گرایش اتمی و مولکولی
که در تاریخ از پایان نامه خود تحت عنوان "کترل نوار عبوری در گاف نواری در بلور های
فوتونیک یک بعدی ناخالص" با کسب نمره دفاع نموده ام بدینوسیله متعهد می شوم:

۱) این پایان نامه حاصل تحقیق و پژوهش انجام شده توسط اینجانب بوده و در مواردی که از دستاوردهای علمی و پژوهشی دیگران (اعم از پایان نامه، کتاب، مقاله و ...) استفاده نموده ام، مطابق ضوابط و رویه موجود،
نام منبع مورد استفاده و سایر مشخصات آنرا در فهرست مربوطه ذکر و درج کرده ام.

۲) این پایان نامه قبلاً برای هیچ مدرک تحصیلی (هم سطح، پایین تر یا بالاتر) در سایر دانشگاه ها و
מוסسیسات آموزش عالی ارائه نشده است.

۳) چنانچه بعد از فراغت از تحصیل، قصد اسفاده و هرگونه بهره برداری اعم از چاپ کتاب، ثبت اختراع و ...
از پایان نامه داشته باشم، از حوزه معاونت پژوهشی واحد مجوزهای مربوطه را اخذ نمایم.

نام و نام خانوادگی: سیده زهره موسوی



دانشگاه آزاد اسلامی
واحد مرودشت

دانشکده علوم پایه
گروه فیزیک

پایان نامه برای دریافت درجه کارشناسی ارشد «M. Sc»
رشته: فیزیک گرایش: اتمی و مولکولی

عنوان:

کنترل نوار عبوری در گاف نواری در بلور های فوتونیک یک بعدی ناخالص

استاد راهنما:

دکتر محمود براتی

استاد مشاور:

دکتر حبیب الله شهری

نگارش:

سیده زهره موسوی

سال تحصیلی: ۹۲-۹۳



صور تجلیسه دفاع از پایان نامه کارشناسی ارشد (M.Sc)

نام و نام خانوادگی دانشجو : سیده زهره موسوی در تاریخ ۱۳۹۲/۱۱/۳ رشته: شیمی فیزیک از پایان نامه خود با عنوان : کتترل نوار عبوری در گاف نواری در بلور های فوتونیک یک بعدی ناچالص دفاع نموده است. و نمره با درجه

نام و نام خانوادگی اعضاء هیات داوری امضاء اعضای هیات داوری

۱ - دکتر محمود براتی استاد راهنما

۲ - دکتر حبیب الله شهری استاد راهنما

۳ - دکتر رضا رئیس السادات استاد داور

مدير/معاونت پژوهشی مراتب فوق مورد تایید است.
مهر و امضاء

سپاسگزاری

هر آنچه به آن رسیده ام، جز لطف خدا نیست و شکر او، جز تذکر این امر نیست. در مسیر زندگی، هرگز تنها نبوده ام و لطف حضرت حق، همواره از طریق بندگان نیک اش، راه گشای زندگیم بوده است . پس باز به خود یادآور می شوم که اگر موافقیتی داشته ام، مدیون الطاف یگانه خداوند هستی و یاری بندگان او هستم و امیدوارم که من نیز به لطف خدا بتوانم وسیله‌ای برای تعالی دیگر بندگان اش باشم.

بر خود فرض می دانم بدین وسیله از استاد عزیزم، جناب آقای دکتر براتی که با راهنمائی هایشان مرا در بهبود هر چه بیشتر این کار، یاری نمودند، تشکر نمایم و تشکر از استاد مشاور محترم جناب آقای دکتر شهری که در این راه مرا راهنمایی نمودند. نیز از پدر و مادرم، که هر آنچه داشتند و نداشتند بی چشم داشت، پیش کشم کردند، از برادرانم که در هر سختی، مشفقاته و صبورانه کنارم بودند و از تمامی معلمانم که هر آنچه می دانم، از آنان آموخته ام، سپاسگزارم و از درگاه خداوند مهربان، سعادت و سلامت ایشان، تمبا دارم و امیدوارم که لیاقت این همه لطف و محبت را داشته باشم.

تقدیم به

پدر، مادر و برادران عزیزم

فهرست مطالب

عنوان	صفحه
چکیده.....	۱
مقدمه.....	۲

فصل اول: معرفی بلورهای فوتونیک، مختصری از تفاوت ها و شbahت ها با بلورهای فیزیک حالت جامد

۱-۱. اصول اولیه بلورهای فوتونیک.....	۵
۱-۱-۱. معرفی کلی بلورهای فوتونیک.....	۵
۱-۱-۲. بلورهای فوتونیک یک بعدی.....	۶
۱-۱-۳. بلورهای فوتونیک دو بعدی.....	۶
۱-۱-۴. بلورهای فوتونیک سه بعدی.....	۶
۱-۱-۵. بلورهای فوتونیک ، بلورهای نیمه رسانا در فیزیک حالت جامد، شbahت ها و تفاوت ها.....	۷
۱-۲. شبکه ی بلورهای فوتونیکی.....	۷
۱-۲-۱. شبکه ی بلور های فوتونیکی یک بعدی.....	۸
۱-۲-۲. شبکه ی بلورهای فوتونیکی دو بعدی.....	۸
۱-۲-۳. شبکه ی بلور های فوتونیکی سه بعدی.....	۸
۱-۳. گاف نوارهای فوتونی.....	۹
۱-۴. ساختار نواری بلور فوتونیکی یک بعدی.....	۱۰
۱-۵. روش های عددی شبیه سازی بلورهای گاف نوار فوتونی.....	۱۲
۱-۶. کاربردهایی از بلورهای فوتونی.....	۱۳
۱-۷. بیان تعدادی از کارهای محققان در زمینه بلور های فوتونیکی.....	۱۴

فصل دوم: بررسی ویژگی مدهای نقص ظاهر شده در طیف تراگسیل بلور فوتونیک یک بعدی در اثر لایه ی نقص

۲-۱. مقدمه.....	۱۶
۲-۲. ساختار بلورهای فوتونیک یک بعدی ایده ال با سیستم دو لایه ای.....	۱۷
۲-۳. ساختار بلورهای فوتونیک یک بعدی با یک لایه نقص در یک سیتم دو لایه ای.....	۱۸

صفحه

عنوان

۱۹.....	۴-۲. ضریب شکست سیلیکون (si)، ژرمانیوم (Ge) و هوا (air)
۱۹.....	۱-۴-۲. ضریب شکست سیلیکون (si)
۲۰.....	۲-۴-۲. ضریب شکست ژرمانیوم (Ge)
۲۱.....	۵-۲. اثبات روش ماتریس انتقال
۲۹.....	۶-۲. روش ماتریس انتقال و محاسبه‌ی طیف تراگسیل
۳۱.....	۷-۲. محاسبات عددی مربوط به طیف تراگسیل بلورهای فوتونیک یک بعدی و رسم نمودارهای آن
۳۱.....	۱-۷-۲. محاسبات عددی مربوط به بلور فوتونیک یک بعدی ایده‌آل
۳۳.....	۲-۷-۲. رسم نمودار بلور فوتونیک یک بعدی ایده‌آل
۳۴.....	۳-۷-۲. محاسبات عددی مربوط به بلور فوتونیک یک بعدی با یک لایه‌ی نقص در حالت متقارن
۳۶.....	۴-۷-۲. رسم نمودار بلور فوتونیک یک بعدی با یک لایه‌ی نقص حالت متقارن
۳۸.....	۵-۷-۲. محاسبات عددی مربوط به بلور فوتونیک یک بعدی با یک لایه‌ی نقص در حالت پاد متقارن
۴۱.....	۶-۷-۲. رسم نمودار بلور فوتونیک یک بعدی با لایه‌ی نقص ژرمانیوم(Ge) حالت پاد متقارن
۴۲.....	۸-۲. اثر دما بر روی مدهای نقص ظاهر شده در طیف تراگسیل بلور فوتونیک یک بعدی با یک لایه‌ی نقص در حالت متقارن
۴۲.....	۱-۸-۲. اثر دما بر روی مدهای نقص ظاهر شده در طیف تراگسیل بلور فوتونیک یک بعدی با یک لایه‌ی نقص سیلیکون (si) در حالت متقارن
۴۳.....	۲-۸-۲. اثر دما بر روی مدهای نقص ظاهر شده در طیف تراگسیل بلور فوتونیک یک بعدی با یک لایه‌ی نقص ژرمانیوم (Ge) در حالت متقارن
۴۴.....	۹-۲. اثر تعداد لایه‌های تناوبی بر روی طیف تراگسیل بلور فوتونیک یک بعدی با یک لایه‌ی نقص
۴۵.....	۱-۹-۲. حالت متقارن برای سه حالت زیرکه در آن N تعداد لایه‌های تناوبی است
۴۶.....	۲-۹-۲. حالت پاد متقارن برای سه حالت زیرکه در آن N تعداد لایه‌های تناوبی است
۴۸.....	۱۰-۲. اثر تغییرات ضخامت لایه‌ی نقص بر روی طیف تراگسیل بلور فوتونیک یک بعدی با یک لایه‌ی نقص
۴۸.....	۱-۱۰-۲. اثر تغییرات ضخامت لایه‌ی نقص بر بلور فوتونیک یک بعدی با یک لایه‌ی نقص سیلیکون (si) در حالت متقارن
۴۹.....	۲-۱۰-۲. اثر تغییرات ضخامت لایه‌ی نقص بر بلور فوتونیک یک بعدی با یک لایه‌ی نقص ژرمانیوم (Ge) در حالت متقارن

فصل سوم: کترل گاف نواری در بلورهای فوتونیک یک بعدی ایده ال و تعیین موقعیت مدهای نقص ظاهر شده در طیف تراگسیلشان در اثر لایه نقص

۵۲.....	۱-۳. مقدمه
۵۳.....	۲-۳. محاسبات عددی مربوط به طیف تراگسیل بلورهای فوتونیک یک بعدی
۵۳.....	۳-۳. رسم نمودار بلورهای فوتونیک یک بعدی در اثر تغییر در ضخامت لایه های اصلی
۵۴.....	۱-۳-۳. رسم نمودار بلورهای فوتونیک یک بعدی ایده آل در اثر تغییر در ضخامت لایه های اصلی
۶۳.....	۲-۳-۳. رسم نمودار بلورهای فوتونیک یک بعدی با یک لایه ی نقص سیلیکون در اثر تغییر در ضخامت لایه های اصلی و تغییر در ضخامت لایه ی نقص

فصل چهارم: نتیجه گیری

۷۱.....	۱-۴. نتیجه گیری
۷۱.....	۲-۴. نتایج مربوط به فصل دوم
۷۳.....	۳-۴. نتایج مربوط به فصل سوم

فهرست منابع

فهرست جداول

عنوان	صفحة
جدول ۱-۲. تغییرات طول موج مرکزی مدهای نقص در طیف تراگسیل یلور فوتونیک یک بعدی با لایه‌ی نقص سیلیکون (Si) در اثر افزایش دما.....	۴۳
جدول ۲-۲. تغییرات طول موج مرکزی مدهای نقص در طیف تراگسیل یلور فوتونیک یک بعدی با لایه‌ی نقص ژرمانیوم (Ge) در اثر افزایش دما.....	۴۴
جدول ۲-۳. تغییرات طول موج مرکزی مدهای نقص در طیف تراگسیل یلور فوتونیک یک بعدی با لایه‌ی نقص سیلیکون (Si) در اثر افزایش ضخامت لایه‌ی نقص.....	۴۹
جدول ۲-۴. تغییرات طول موج مرکزی مدهای نقص در طیف تراگسیل یلور فوتونیک یک بعدی با لایه‌ی نقص ژرمانیوم (Ge) در اثر افزایش ضخامت لایه‌ی نقص.....	۵۰
جدول ۳-۱. تعیین محدوده‌ی گاف نوار فوتونی برای بلورهای فوتونیک یک بعدی ایده‌ال زمانی که $d_1 = d_2$ است.....	۵۶
جدول ۳-۲. تعیین محدوده‌ی گاف نوار فوتونی برای بلورهای فوتونیک یک بعدی ایده‌ال زمانی که $d_2 = 2d_1$ است.....	۵۹
جدول ۳-۳. تعیین محدوده‌ی گاف نوار فوتونی برای بلورهای فوتونیک یک بعدی ایده‌ال زمانی که $d_2 = 3d_1$ است.....	۶۲
جدول ۳-۴. تعیین تعداد مدهای نقص و طول موج‌های آن برای بلورهای فوتونیک یک بعدی با یک لایه‌ی نقص سیلیکون در اثر تغییر در ضخامت لایه‌ی نقص، زمانی که $d_2 = d_1$ است.....	۶۵
جدول ۳-۵. تعیین تعداد مدهای نقص و طول موج‌های آن برای بلورهای فوتونیک یک بعدی با یک لایه‌ی نقص سیلیکون در اثر تغییر در ضخامت لایه‌ی نقص، زمانی که $d_2 = d_1$	۶۷
جدول ۳-۶. تعیین تعداد مدهای نقص و طول موج‌های آن برای بلورهای فوتونیک یک بعدی با یک لایه‌ی نقص سیلیکون در اثر تغییر در ضخامت لایه‌ی نقص، زمانی که $d_2 = d_1$	۶۹

فهرست اشکال

عنوان	
صفحه	
۱-۱. الف) بلور فوتونیکی یک بعدی ب) بلور فوتونیکی دو بعدی ج) بلور فوتونیکی سه بعدی.....	۵
شکل ۱-۱. مثال هایی از انواع شبکه های بلور فوتونیک دو بعدی الف) بلور فوتونیک دو بعدی با شبکه ی مربعی و عناصر اطرافش ب) بلور فوتونیک دو بعدی با شبکه ی هگزوگونال و عناصر اطرافش	۸
شکل ۱-۳. مثال هایی از انواع شبکه های بلور فوتونیک سه بعدی الف) FCC (شبکه مکعبی مرکز سطحی)	
ب) توده چوبی ج) شبکه ی مار پیچی د) شبکه ی شبه الماس.....	۹
شکل ۱-۴. ساختار نواری برای یک بلور فوتونیک یک بعدی.....	۱۱
شکل ۱-۲. شماتیکی از بلور فوتونیک یک بعدی ایده آل.....	۱۸
شکل ۲-۱. شماتیکی از بلور فوتونیک یک بعدی متقارن با یک لایه ی نقص.....	۱۸
شکل ۲-۲. شماتیکی از بلور فوتونیک یک بعدی نا متقارن با یک لایه ی نقص.....	۱۸
شکل ۲-۴. ضریب شکست سیلیکون (si) به عنوان تابعی از طول موج و دما.....	۲۰
شکل ۲-۵. ضریب شکست ژرمانیوم (Ge) به عنوان تابعی از طول موج و دما.....	۲۱
شکل ۲-۶. نمودار تراگسیل بلور فوتونیک یک بعدی ایده آل (si/air) ^(۱۰) در دمای $k = 300^{\circ}k$ محدوده ی گاف نوار فوتونی برای این بلور برابر است با $\mu\text{m} [1/815-1/510]$	۳۴
شکل ۲-۷. نمودار تراگسیل بلور فوتونیک یک بعدی با یک لایه ی نقص سیلیکون(si) حالت متقارن.....	۳۷
شکل ۲-۸. نمودار تراگسیل بلور فوتونیک یک بعدی با یک لایه ی نقص ژرمانیوم (Ge) حالت متقارن.....	۳۸
شکل ۲-۹. نمودار تراگسیل بلور فوتونیک یک بعدی با یک لایه ی نقص ژرمانیوم(Ge) حالت پاد متقارن.....	۴۱
شکل ۲-۱۰. نمودار تغییرات موقعیت مد نقص در طیف تراگسیل یلور فوتونیک یک بعدی با لایه ی نقص سیلیکون (si) در اثر افزایش دما.....	۴۲
شکل ۲-۱۱. نمودار تغییرات موقعیت مد نقص در طیف تراگسیل یلور فوتونیک یک بعدی با لایه ی نقص ژرمانیوم (Ge) در اثر افزایش دما.....	۴۳
شکل ۲-۱۲. نمودار تراگسیل بلور فوتونیک یک بعدی با یک لایه ی نقص ژرمانیوم(Ge) حالت متقارن	
۴۵.....(N= 5)	

- شکل ۲-۱۳. نمودار تراگسیل بلور فوتونیک یک بعدی با یک لایه ی نقص ژرمانیوم (Ge) حالت متقارن
۴۵ (N= 10)
- شکل ۲-۱۴. نمودار تراگسیل بلور فوتونیک یک بعدی با یک لایه ی نقص ژرمانیوم (Ge) حالت متقارن
۴۶ (N= 15)
- شکل ۲-۱۵. نمودار تراگسیل بلور فوتونیک یک بعدی با یک لایه ی نقص ژرمانیوم (Ge) حالت پاد متقارن
۴۶ N=5
- شکل ۲-۱۶. نمودار تراگسیل بلور فوتونیک یک بعدی با یک لایه ی نقص ژرمانیوم (Ge) حالت پاد متقارن
۴۷ N=10
- شکل ۲-۱۷. نمودار تراگسیل بلور فوتونیک یک بعدی با یک لایه ی نقص ژرمانیوم (Ge) حالت پاد متقارن
۴۷ N=15
- شکل ۲-۱۸. نمودار تغییرات موقعیت مد نقص درطیف تراگسیل بلور فوتونیک یک بعدی با لایه ی نقص سیلیکون (si) در اثر افزایش ضخامت لایه ی نقص
۴۸
- شکل ۲-۱۹. نمودار تغییرات موقعیت مد نقص درطیف تراگسیل بلور فوتونیک یک بعدی با لایه ی نقص ژرمانیوم (Ge) در اثر افزایش ضخامت لایه ی نقص
۴۹
- شکل ۳-۱. نمودار بلور فوتونیک یک بعدی ایده ال 10 (si/air) برای $d_2 = d_1 = 1 \mu m$
۵۴
- شکل ۳-۲. نمودار بلور فوتونیک یک بعدی ایده ال 10 (si/air) برای $d_2 = d_1 = 1/5 \mu m$
۵۵
- شکل ۳-۳. نمودار بلور فوتونیک یک بعدی ایده ال 10 (si/air) برای $d_2 = d_1 = 2 \mu m$
۵۵
- شکل ۳-۴. مقایسه ی سه نمودار بلور فوتونیک یک بعدی ایده ال 10 (si/air) برای حالت (الف)
۵۶
- شکل ۳-۵. نمودار بلور فوتونیک یک بعدی ایده ال 10 $\left(\frac{si}{air}\right)$ برای $d_2 = 2 \mu m$ و $d_1 = 1 \mu m$
۵۷
- شکل ۳-۶. نمودار بلور فوتونیک یک بعدی ایده ال 10 $\left(\frac{si}{air}\right)$ برای $d_2 = 3 \mu m$ و $d_1 = \frac{1}{5} \mu m$
۵۸
- شکل ۳-۷. نمودار بلور فوتونیک یک بعدی ایده ال 10 $\left(\frac{si}{air}\right)$ برای $d_2 = 4 \mu m$ و $d_1 = 2 \mu m$
۵۸
- شکل ۳-۸. مقایسه ی سه نمودار بلور فوتونیک یک بعدی ایده ال 10 (si/air) برای حالت (ب)
۵۹
- شکل ۳-۹. نمودار بلور فوتونیک یک بعدی ایده ال 10 $\left(\frac{si}{air}\right)$ برای $d_2 = 3 \mu m$ و $d_1 = 1 \mu m$
۶۰

- شکل ۳-۱۰. نمودار بلور فوتونیک یک بعدی ایده ال $\left(\frac{si}{air}\right) 10$ برای و
۶۱ $d2 = \frac{4}{5\mu m} \quad 1 = \frac{1}{5} \mu m$
- شکل ۳-۱۱. نمودار بلور فوتونیک یک بعدی ایده ال $\left(\frac{si}{air}\right) 10$ برای
۶۱ $d2 = 6\mu m \quad d1 = 2 \mu m$
- شکل ۳-۱۲. مقایسه‌ی سه نمودار بلور فوتونیک یک بعدی ایده ال $10 (si/air)$ برای حالت ج
۶۱ شکل ۳-۱۳. مقایسه‌ی نه نمودار بلور فوتونیک یک بعدی ایده ال
۶۲ $(si/air) 10$ برای حالت (الف)،(ب) و (ج)
- شکل ۳-۱۴. نمودار بلور فوتونیک یک بعدی با یک لایه‌ی نقص سیلیکون $d2 = d1 = 1 \mu m$
۶۳ با ضخامت لایه‌ی نقص $T=3 \mu m$ و $T=2 \mu m$. Type equation here
- شکل ۳-۱۵. نمودار بلور فوتونیک یک بعدی با یک لایه‌ی نقص سیلیکون $d2 = d1 = 1 \mu m$ با ضخامت
۶۴ لایه‌ی نقص $T=5 \mu m$ و $T=4 \mu m$
- شکل ۳-۱۶. نمودار بلور فوتونیک یک بعدی با یک لایه‌ی نقص سیلیکون $d2 = d1 = 1 \mu m$ با ضخامت
۶۴ لایه‌ی نقص $T=7 \mu m$ و $T=6 \mu m$
- شکل ۳-۱۷. نمودار بلور فوتونیک یک بعدی با یک لایه‌ی نقص سیلیکون $d2 = d1 = 1/5 \mu m$ با ضخامت
۶۶ لایه‌ی نقص $T=4/5 \mu m$ و $T=3 \mu m$
- شکل ۳-۱۸. نمودار بلور فوتونیک یک بعدی با یک لایه‌ی نقص سیلیکون $d2 = d1 = 1/5 \mu m$ با ضخامت
۶۶ لایه‌ی نقص $T=7/5 \mu m$ و $T=6 \mu m$
- شکل ۳-۱۹. نمودار بلور فوتونیک یک بعدی با یک لایه‌ی نقص سیلیکون $d2 = d1 = 1/5 \mu m$ با ضخامت
۶۷ لایه‌ی نقص $T=10/5 \mu m$ و $T=9 \mu m$
- شکل ۳-۲۰. نمودار بلور فوتونیک یک بعدی با یک لایه‌ی نقص سیلیکون $d2 = d1 = 2 \mu m$ با ضخامت
۶۸ لایه‌ی نقص $T=6 \mu m$ و $T=4 \mu m$
- شکل ۳-۲۱. نمودار بلور فوتونیک یک بعدی با یک لایه‌ی نقص سیلیکون $d2 = d1 = 2 \mu m$ با ضخامت
۶۸ لایه‌ی نقص $T=10 \mu m$ و $T=8 \mu m$
- شکل ۳-۲۲. نمودار بلور فوتونیک یک بعدی با یک لایه‌ی نقص سیلیکون $d2 = d1 = 2 \mu m$ با ضخامت
۶۹ لایه‌ی نقص $T=14 \mu m$ و $T=12 \mu m$

چکیده

در این تحقیق، ویژگی مدهای نقص ظاهر شده در طیف تراگسیل ساختار بلورهای فوتونیک یک بعدی با یک لایه‌ی نقص و همچنین موقعیت ناحیه گاف نوار فوتونی در ساختار بلورهای فوتونیک یک بعدی ایده‌ال مورد بررسی قرار گرفته است. ساختار بلورهای فوتونیک برای دو حالت متقارن و پاد متقارن بررسی می‌شود.

سیستمی که در این تحقیق در نظر گرفته می‌شود، سیستمی دو لایه‌ای از سیلیکون / هوا است، ضریب شکست سیلیکون به عنوان تابعی از طول موج و دما به طور هم زمان در نظر گرفته می‌شود، در حالی که ضریب شکست هوا مستقل از طول موج و دما است.

طول موج مرکزی مد نقص به پهنانی لایه‌ی نقص وابسته است، بنابراین می‌توان طول موج مرکزی مد نقص را با تغییر در پهنانی لایه‌ی نقص تغییر داد، از این خاصیت می‌توان برای جدا سازی و ایجاد طول موج‌های معین از خروجی یک دستگاه اپتیکی متشکل از بلورهای فوتونیک استفاده نمود.

مقدمه

با نشان دادن گاف نواری در ساختارهای تناوبی یک بعدی توسط فیزیکدان انگلیسی، مطالعه بر روی بلورهای فوتونیک شروع شد (Rayleigh, 1887). کمتر از صد سال بعد، دانشمند اتحاد جماهیر شوروی مقاله‌ای منتشر کرد که در آن امکان استفاده از ساختارهای تناوبی برای کنترل انتشار خود بخود را توضیح داده بود (Bykov, 1972).

کمتر از ده سال بعد، مفهوم بلورهای فوتونیک سه بعدی مورد بررسی قرار گرفت، کسی که یک روش برای محاسبه گاف نوار فوتونی پیشنهاد داده بود (Ohtaka, 1979).

ایده‌های فوق تا انتشار دو مقاله‌ی معروف در تاریخ طیورهای فوتونی اوج نگرفته بودند و هنوز لفظ بلور فوتونی و ساختار باند فوتونی ناشناخته بود، تا اینکه دو دانشمند با انتشار دو مقاله معروف خود، (این مقالات امکان مدیریت انتشار خود بخودی و همچنین امکان کنترل انتشار تابش با استفاده از ساختارهای های تناوبی را بررسی می‌کرد) توансند عبارت بلور فوتونی را برای اولین بار در این ساختارها بکار ببرند (yablonovtich and john, 1987).

هرچند، اولین کارها برای شروع پیشرفت در مطالعه‌ی بلورهای فوتونیکی، کارهایی بود که توسط الی یابلونوویچ و ساجیو جان انجام شد، اما پس از انتشار این مقالات، تعداد نشریات اختصاص داده شده به فیزیک و تکنولوژی بلور فوتونیکی، هر ساله دو برابر شد و علاقه محققان در زمینه مطالعات بر روی بلورهای فوتونیکی رشد چشمگیری پیدا کرده است (Guryev and Sukhoivanov, 2009 ch1)

بلورهای فوتونیک، به عنوان ساختارهای دی الکتریکی که ضریب شکستشان به طور تناوبی تغییر می‌کند، در برابر امواج الکترومغناطیس رفتار جالبی از خود نشان می‌دهند که این رفتار، مشابه رفتار الکترون‌ها در نیمه رساناهای می‌باشد (Aghajamali et al., 2012).

یکی از خواص مهم بلورهای فوتونیک، وجود یک گاف نواری نسبتاً پهن در طیف عبوری آنها می‌باشد. این بدین معنی است که از امواج تابیده شده به بلور، طول موج هائی که در ناحیه گاف قرار می‌گیرند در بلور جذب شده و در نتیجه از آن عبور نخواهند کرد. چنانچه لایه‌ای با خصوصیتی متفاوت با لایه‌های اصلی بلور فوتونیک بین لایه‌ها اضافه گردد، (لایه نقص) این لایه باعث ایجاد نوار مجاز فوق العاده باریکی در ناحیه گاف گردیده که سبب می‌شود، طول موج خاصی از طول موج‌های ناحیه گاف که قبل از قرار گرفتن لایه نقص اجازه عبور نداشت، اکنون بتواند به علت حضور لایه نقص از بلور عبور نماید (Joannopoulos, 1995).

هدف اصلی ما بررسی چگونگی تشکیل این نوار مجاز فوق العاده باریک است و همچنین بررسی عواملی که باعث تغییر موقعیت این نوار در ناحیه گاف می‌شود. دستیابی به این هدف، با تحقیق کردن بر روی اثر لایه نقص در موقعیت نوار جدید ایجاد شده در ناحیه گاف امکان پذیر است. (kumar et al., 2012).

فصل اول

به خلاصه‌ای از معرفی اصول اولیه‌ی بلورهای فوتونیک می‌پردازد، این بلورها طبقه‌ای خاص از محیط‌های اپتیکی هستند

با قابلیت مدولاسیون تناوبی از گذرهای.

این فصل به ترتیب، ابتدا ایده‌ای کلی از آنچه که بلورهای فوتونیک می‌باشد را بیان می‌کند، سپس انواع مختلفی از شبکه‌های بلورهای فوتونیک را توصیف نموده، بعد از بیان انواع شبکه‌های بلور فوتونیکی بخشی از فصل به معرفی گاف نوارهای فوتونی (PBGs) اختصاص داده می‌شود و از آنجا که تحقیق بر روی بلورهای فوتونیکی یک بعدی انجام می‌شود لذا مفهوم ساختار نواری برای بلور فوتونیکی یک بعدی بیان و نمودار آن هم رسم می‌شود . بعد از آن روش‌ها ی عددی برای مطالعه خواص بلور فوتونی مورد بررسی قرار می‌گیرد و در پایان فصل تعدادی از کاربردهای این بلورها در صنایع اپتیکی و تعدادی از کارهای محققان در زمینه بلورهای فوتونیکی ارائه داده می‌شود.

فصل دوم

شامل تحقیق در مورد اثرات لایه‌ی نقص بر روی گاف نواری بلورهای فوتونیک یک بعدی می‌باشد. موقعیت مدهای نقص ظاهر شده در طیف تراگسیل بلور که در اثر لایه‌ی نقص ایجاد شده است توسعه تغییر در چهار عامل(در فصل دوم در مورد این چهار عامل به طور کامل صحبت خواهد شد) مورد بررسی قرار خواهد گرفت.

فصل سوم

مبحث ابتدای فصل، بررسی موقعیت ناحیه‌ی گاف نوار فوتونی در اثر تغییر ضخامت لایه‌های اصلی در بلور فوتونیک یک بعدی ایده‌ال است. مبحث پایانی فصل هم بررسی موقعیت مدهای نقص ظاهر شده در طیف تراگسیل بلور فوتونیک یک بعدی در اثر تغییر در ضخامت لایه‌ی نقص می‌باشد.

فصل چهارم

نتایج هر آنچه در فصل دوم و سوم مورد مطالعه و بررسی قرار گرفت، در فصل چهارم نشان داده می‌شود.

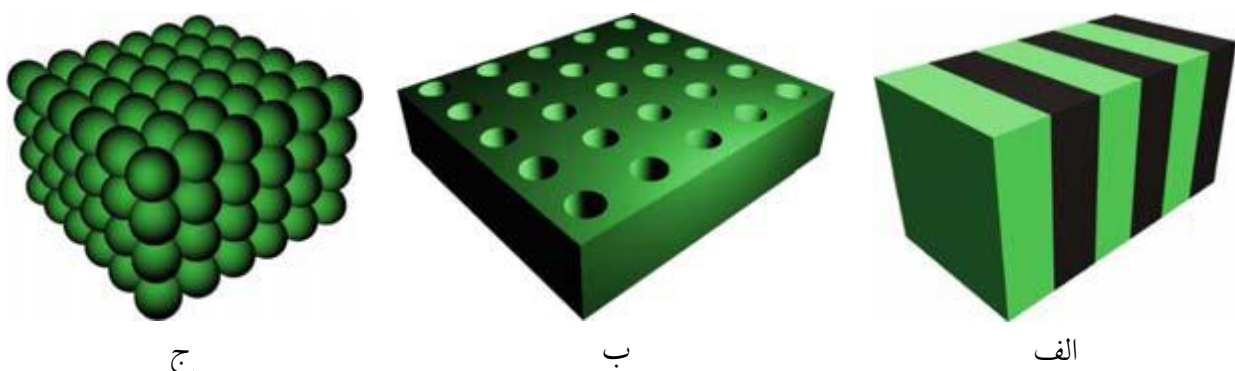
فصل اول

معرفی بلورهای فوتونیک، مختصری از تفاوت ها
و شباهت ها با بلورهای فیزیک حالت جامد

۱.۴ اصول اولیه بلورهای فوتونیک

۱.۴.۱ معرفی کلی بلورهای فوتونیک

بلورهای فوتونیک دسته جدیدی از محیط‌های اپتیکی، دارای ساختارهای طبیعی یا مصنوعی با ضریب شکست تناوبی هستند. چنین محیط‌های اپتیکی، خواص ویژه بسیاری دارند که به آنها این فرصت را می‌دهد که بر اساس این خواص، کاربردهای بسیاری را دارا باشند. بسته به ساختار هندسی، بلورهای فوتونیک می‌توانند به سه دسته کلی با نامهای ساختارهای یک بعدی (1D)، دو بعدی (2D) و ساختار سه بعدی (3D)، تقسیم بندی شوند. در شکل ۱-۱ این ساختارها را مشاهده می‌کنید.



شکل ۱.۴.۱. (الف) بلورفوتونیکی یک بعدی (ب) بلور فوتونیکی دو بعدی (ج) بلور فوتونیکی سه بعدی

بلورهای فوتونیکی برای تحت تاثیر قرار دادن حرکت فوتونها، و بلورهای نیمه رسانا برای تحت تاثیر قرار دادن حرکت الکترون‌ها طراحی شده‌اند. بنابراین عملکرد بلورهای فوتونیکی در برابر فوتون‌ها، مشابه عملکرد بلورهای نیمه رسانا در برابر الکترون‌ها است. بلورهای فوتونیکی در طبیعت به صورت ساختارهای رنگی مشاهده می‌شوند. بال پروانه‌ها، سنگ معدنی عقیق که در ساخت جواهر آلات استفاده می‌شود و بال بعضی از حشرات که در نور به رنگ‌های مختلف مشاهده می‌شوند. چند نمونه از این موارد می‌باشند (Guryev and Sukhoivanov, 2009 ch1).

۱ + ۲. بلورهای فوتونیک یک بعدی

در بلورهای فوتونیکی یک بعدی^۱ مدولاسیون تناوبی از گذردهی تنها در یک جهت اتفاق می‌افتد. در حالی که در دو جهت دیگر ساختار یکسانی داریم. به عنوان یک مثال از چنین بلورهای فوتونیکی، توری برآگ را می‌توان مثال زد که به طور گستردگی، در لیزرهای ساطع به عنوان یک بازتابنده توزیعی در سطح کاوک عمودی استفاده می‌شود. علاوه بر این، چنین ساختارهایی به عنوان پوشش‌های ضد انعکاس، به طور گستردگی اس-تفاده می‌شوند تا اجازه دهنده بازتاب از سطح افزایش یابد و استفاده می‌شوند تا کیفیت لنزها، منشورها و سایر اجزای اپتیکی را افزایش دهیم.(Guryev and Sukhoivanov, 2009 ch1).

۱ + ۳. بلورهای فوتونیک دو بعدی

بلورهای فوتونیک دو بعدی^۲ می‌توانند انواع نسبتاً زیادی از تنظیمات را داشته باشند، زیرا دارای تناوبی از گذردهی، در طول دو جهت هستند و در جهت سوم محیط یکسان است. یک مثال خوب از بلورهای فوتونیک دو بعدی، سیلیسیم متخلخل، با منافذ تناوبی مرتب است که بوسیلهٔ بستر سیلیسیم با سوراخ‌های خورده شده توسط اسید معرفی می‌شود. مثال دیگری از بلورهای فوتونیک دو بعدی، یک سیستم تناوبی مرتب از میله‌های دی الکتریک در هوا است. بلورهای فوتونیک دو بعدی را می‌توان در طبیعت نیز یافت. الگوی روی بال پروانه‌ها و نقش رنگین کمان روی آن، که بوسیلهٔ انعکاس نور از میکروساختار روی بال ایجاد می‌شود نمونه‌ای از این موارد است.(Guryev and Sukhoivanov, 2009 ch1).

۱ + ۴. بلورهای فوتونیک سه بعدی

بلورهای فوتونیک سه بعدی^۳ دارای مدولاسیون گذردهی، در طول هر سه جهت هستند. از این رو است که تعداد ساختارهای ممکن، برای بلورهای فوتونیکی سه بعدی بسیار بیشتر از مورد تک بعدی و دو بعدی است. کارهای زیادی به طراحی ساختار جدید هندسی بلورهای فوتونیک سه بعدی اختصاص داده شده است، تا امکانات جدیدی از کاربردهاییشان کشف شود.

شناخته ترین شکل طبیعی از بلورهای فوتونیک سه بعدی در دسترس، سنگ عقیق سیلیسیم است. این سنگ توسط خواص نوری منحصر بفردش شناخته شده است. هنگامی که این سنگ را می‌چرخانیم به رنگ‌های مختلفی دیده می‌شود. از این رو مردم باستان اعتقاد داشتند این سنگ عقیق دارای قدرت جادویی است. به هر حال امروزه متوجه شده ایم این ویژگی ناشی از میکروساختار این سنگ است. این سنگ شامل تعدادی از

¹ one dimensional photonic crystal

² two dimensional photonic crystal

³ three dimensional photonic crystal